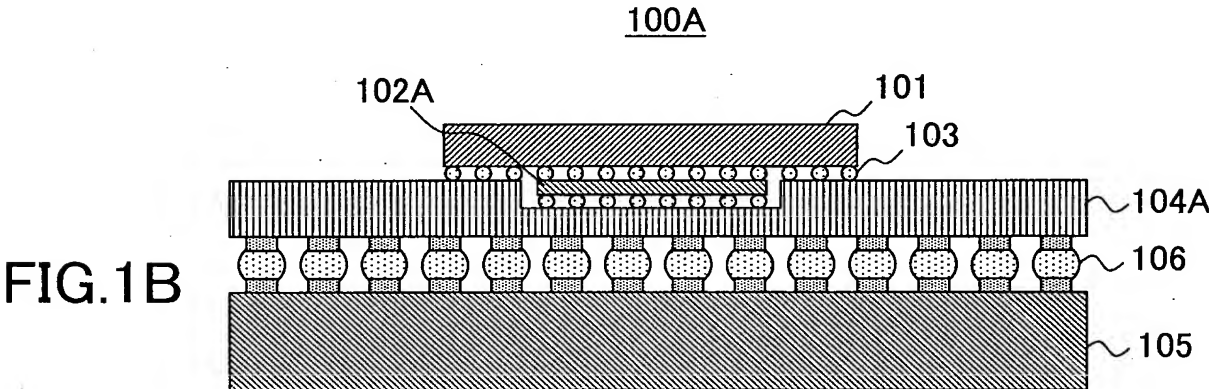
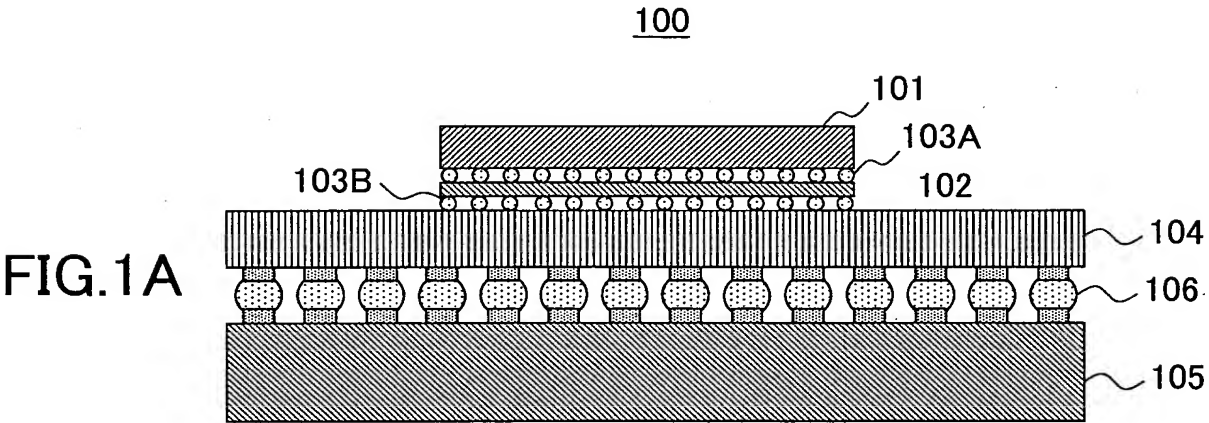


RELATED ART



RELATED ART

FIG.2A



FIG.2B



FIG.2C

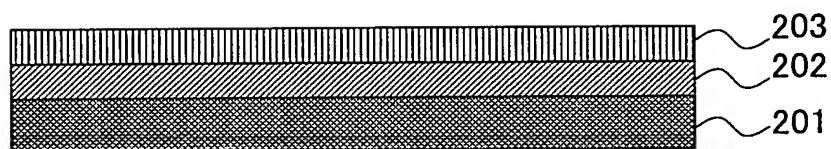


FIG.2D

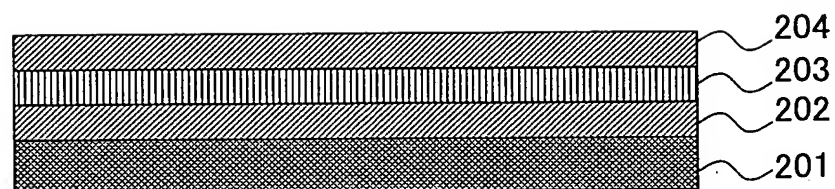


FIG.3

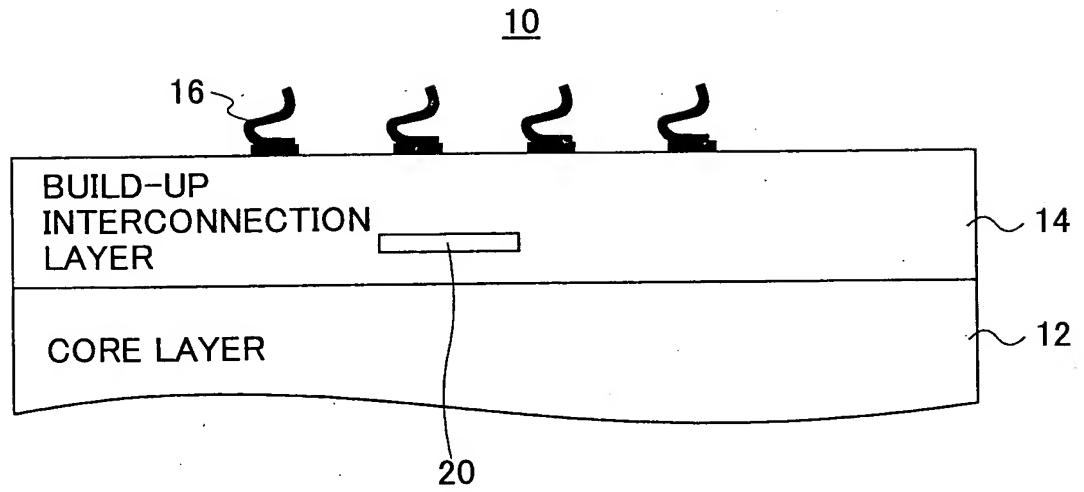


FIG.4

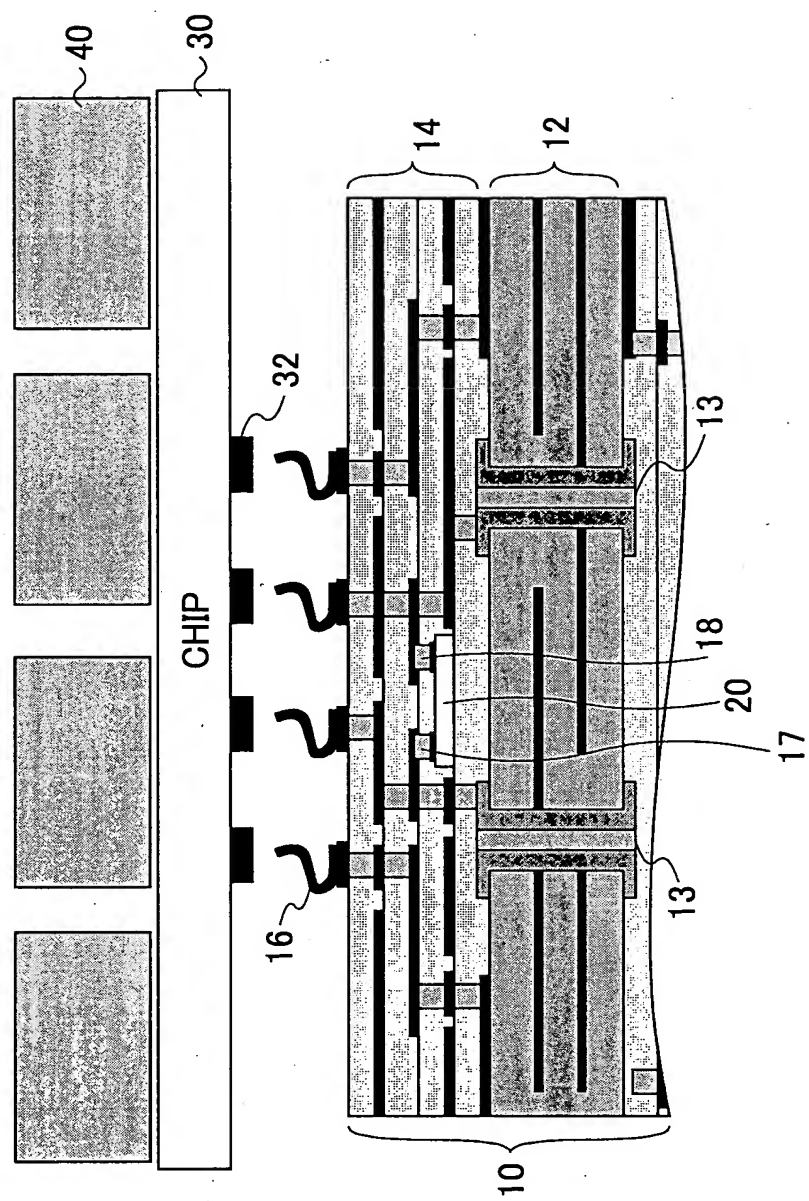


FIG.5

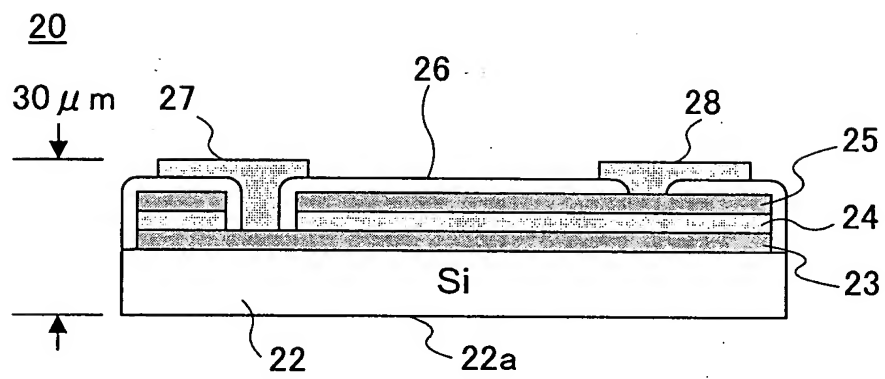


FIG. 6A



FIG. 6B

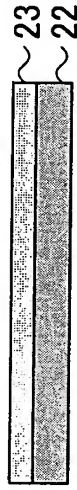


FIG. 6C

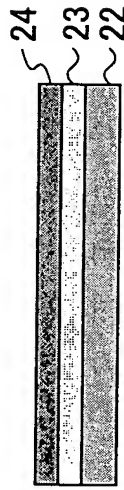


FIG. 6D

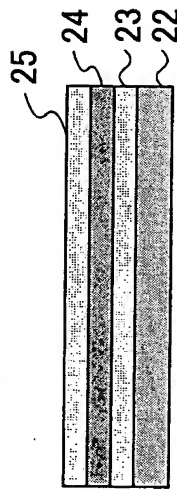


FIG. 6E

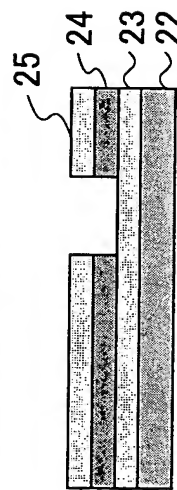


FIG. 6F

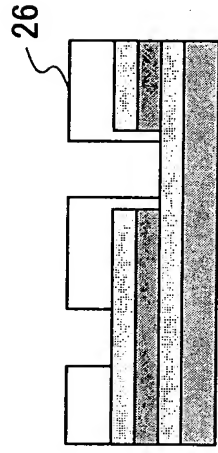
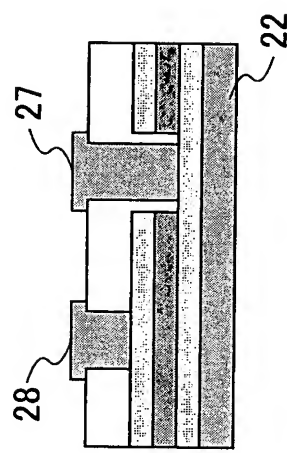


FIG. 6G



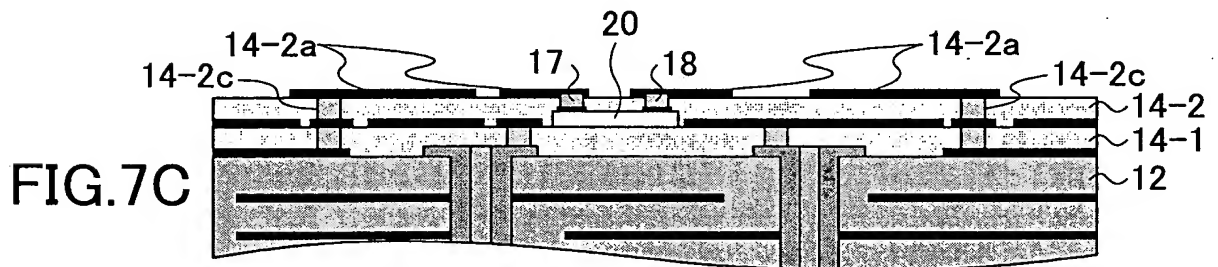
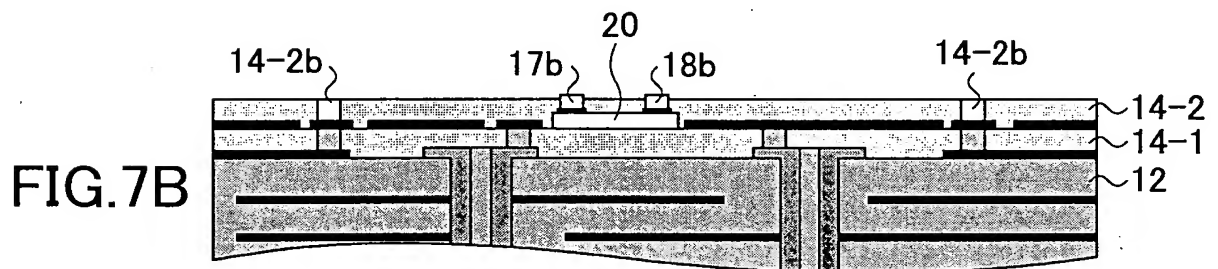
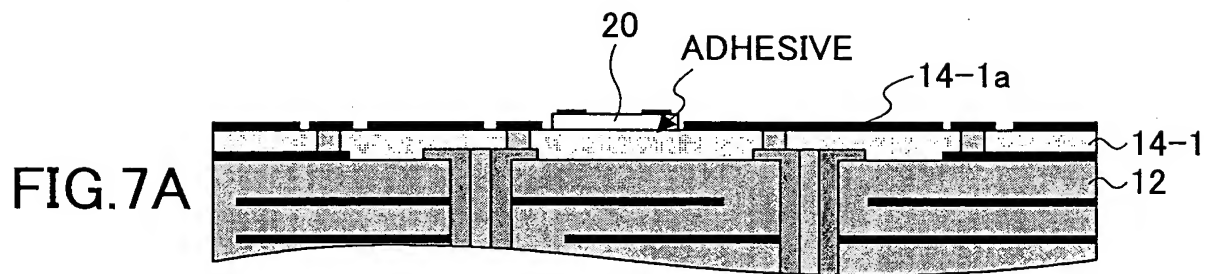


FIG.8

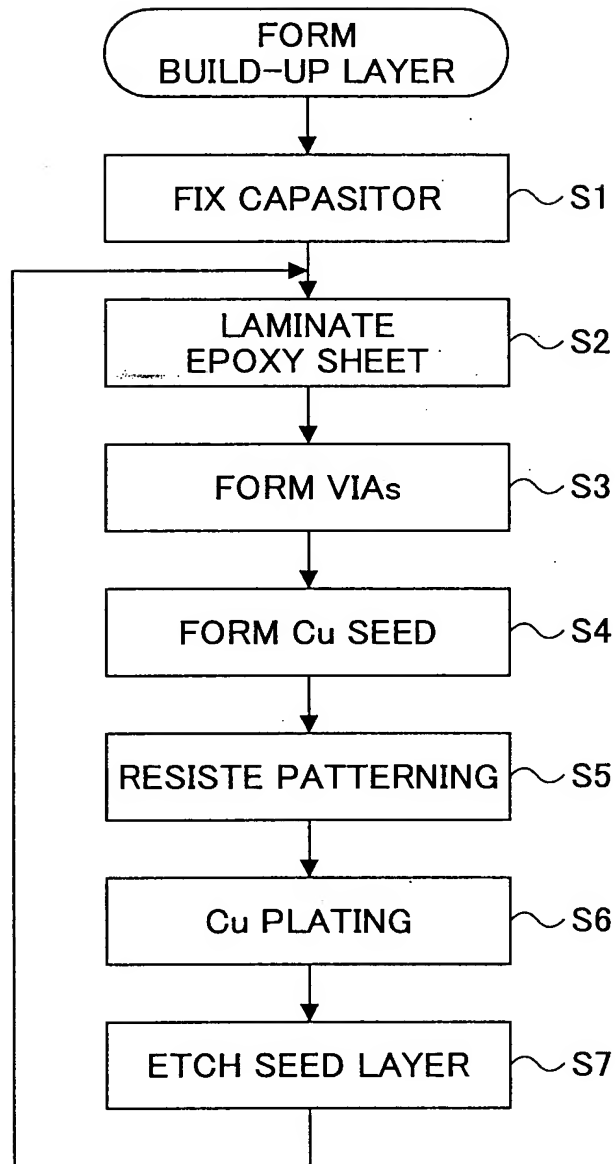


FIG.9

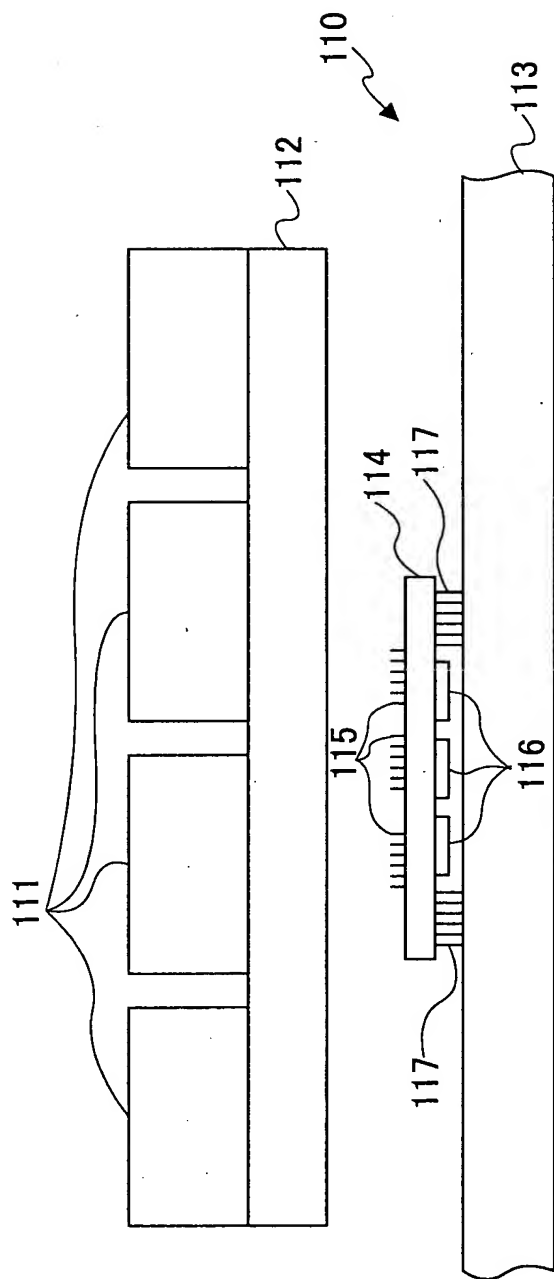


FIG.10

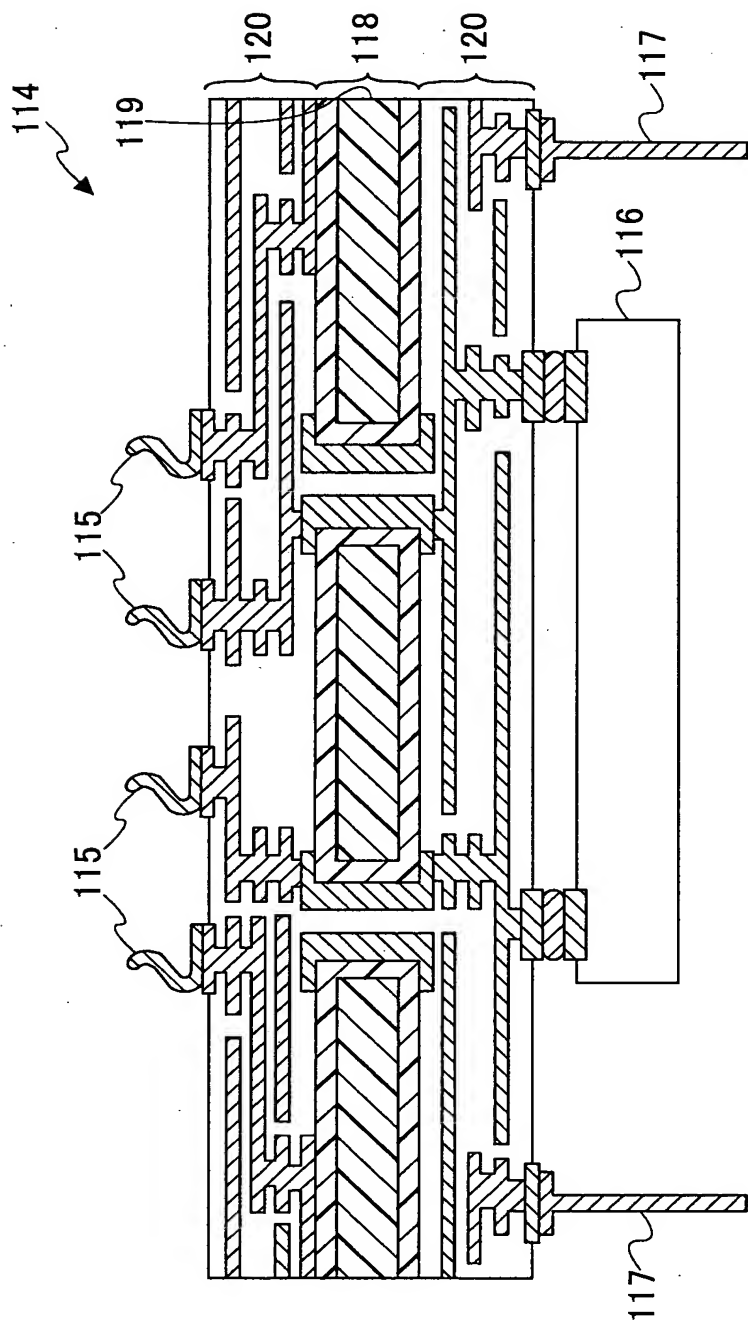


FIG.11

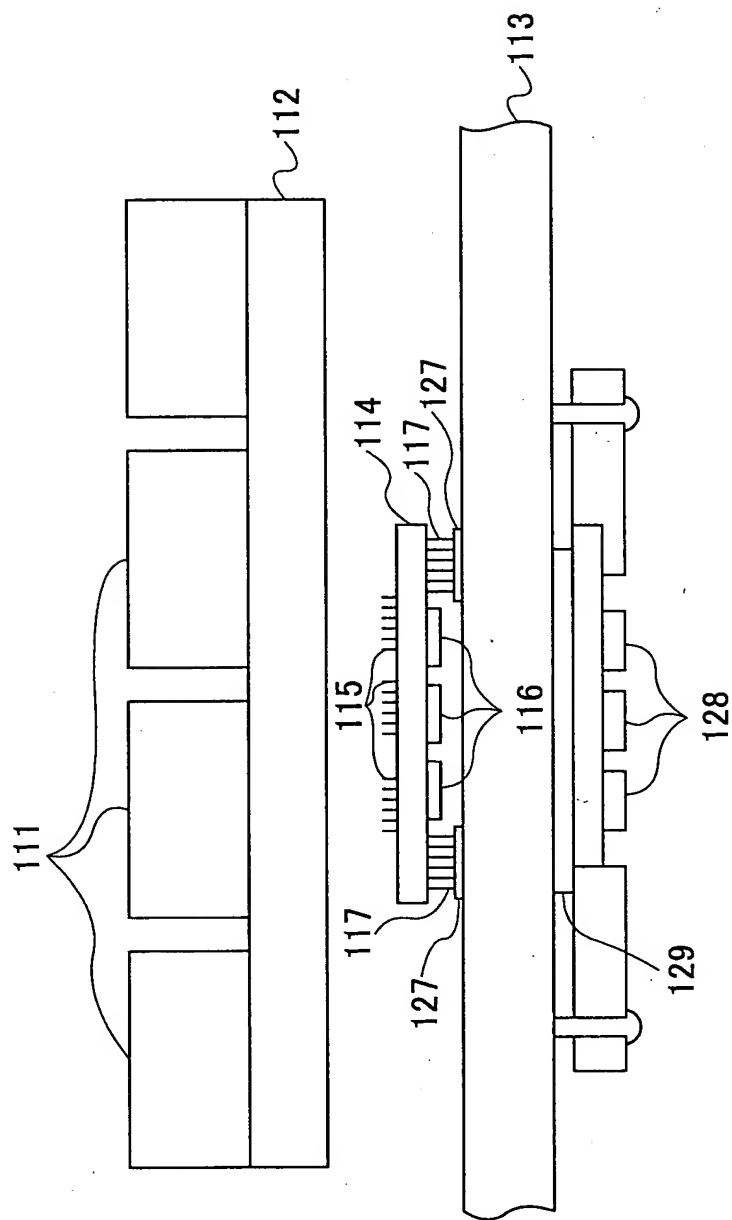


FIG.12

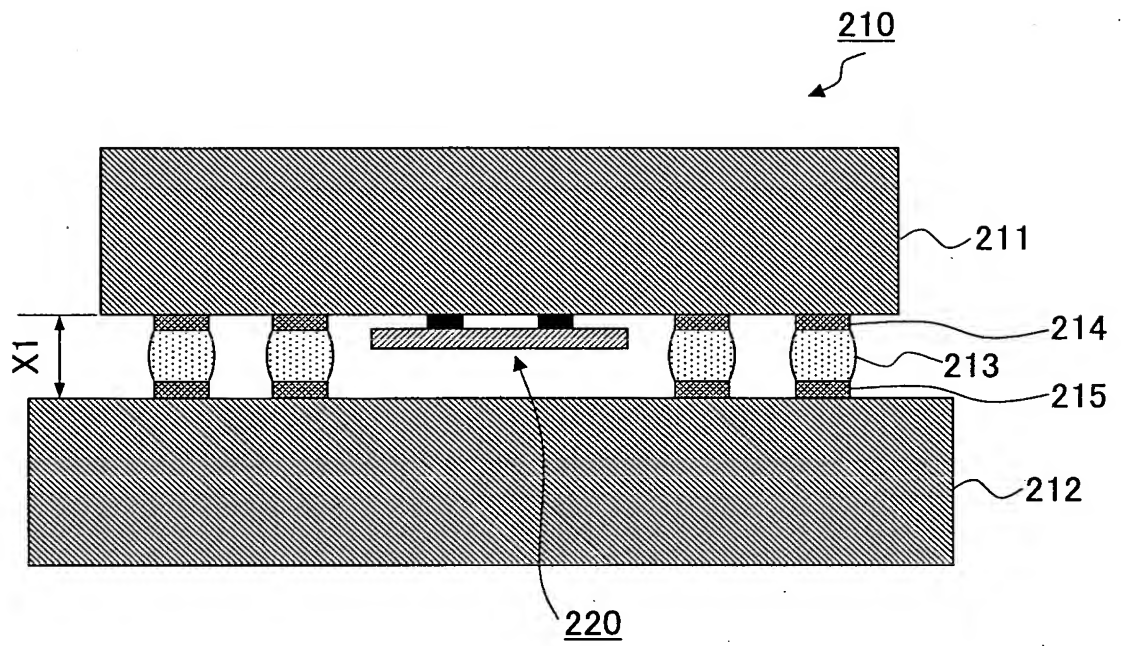


FIG.13

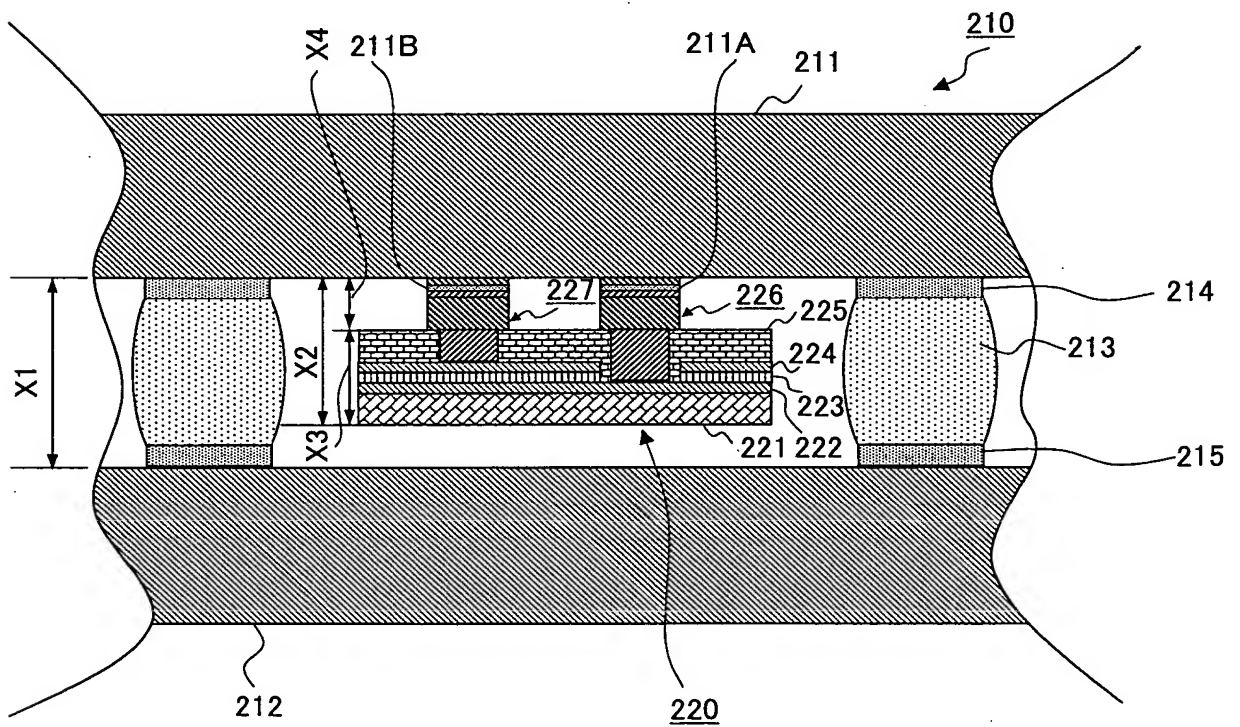


FIG.14

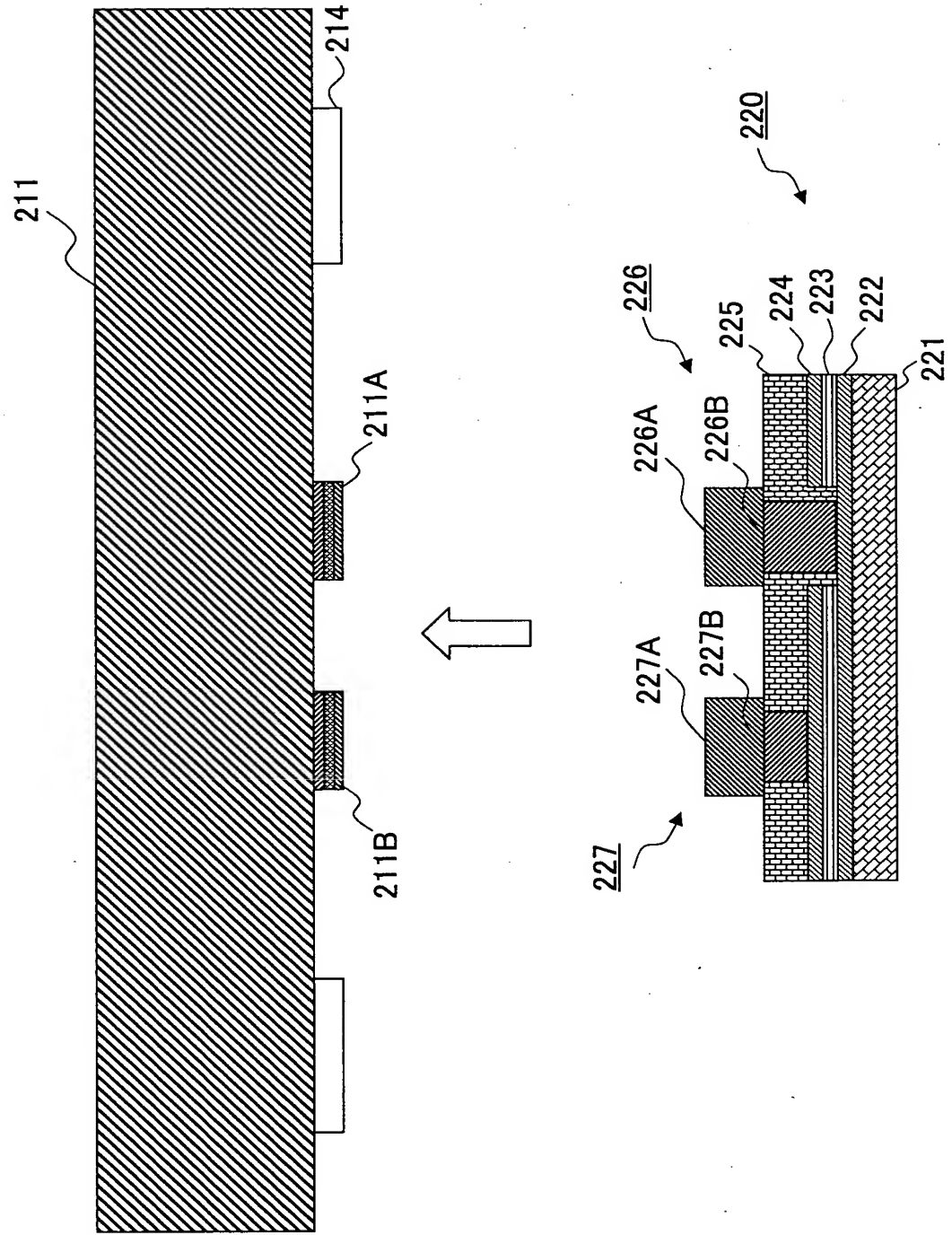


FIG.15A

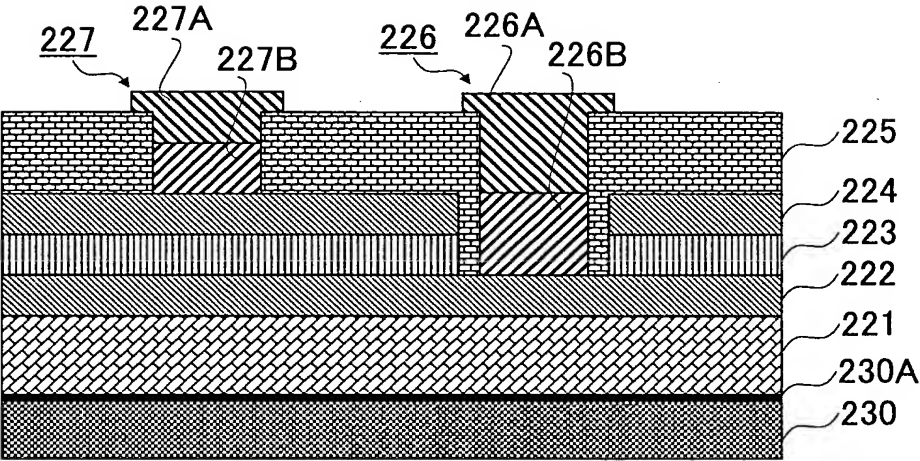


FIG.15B

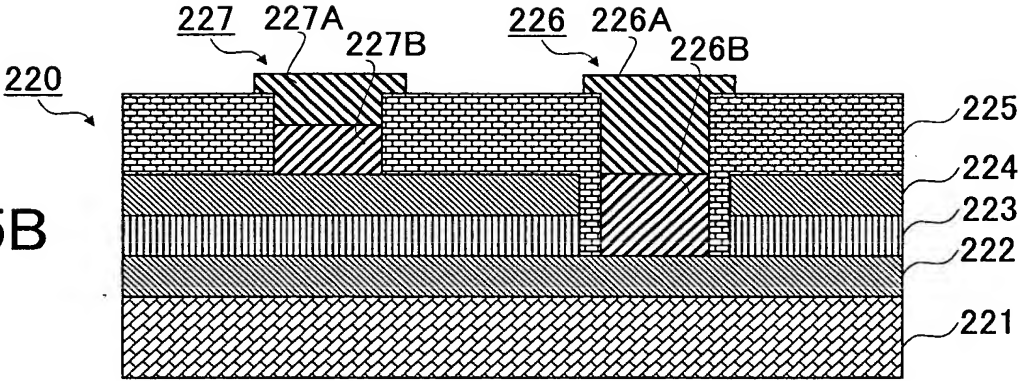


FIG.16

